

京都大学大学院
京都大学防災研究所
京都大学大学院

学生員
正員
学生員

大年邦雄
今本博健
二宮純

1. はじめに

著者らは従来より開水路流れの抵抗特性および乱れ特性に及ぼす浮遊砂の効果について実験的検討を行ひ^{(1), (2)}、滑面流れの抵抗係数あるいはカルマン定数は浮遊砂濃度の増加とともに増大することを示した。これは従来からの予見とは異なった結果となつてゐる。そこで、著者らが採用している実験装置および方法に關して種々の観点から再検討を行うとともに、実験技術上の諸問題につひも検討を加え、その有効性につひも確認を得た。⁽³⁾ そのような検討をふまえた上で、本報告においては固定床粗面上の浮遊砂流における抵抗特性につひも言及し、合わせて滑面上の流れの場合との比較を行うこととする。なお、本実験に使用した浮遊砂は珪砂7号と呼ばれる混合砂で、その平均粒径およびStokesの式より算定される平均沈降速度はそれぞれ $0.016 \text{ cm}, 1.99 \text{ cm/sec}$ である。

2. 抵抗係数

抵抗係数 C_f は摩擦速度 U_f および断面平均流速 U_m を用いて、 $C_f = 2(U_f/U_m)^2$ と定義される。このように表示された抵抗係数 C_f と浮遊砂濃度 C_m との関係を滑面および粗面上の開水路流れに對し示したもののが図-1 (a)～(c) である。なお、図において C_f はそれぞれの場合における清水流の抵抗係数 C_{f0} で基準化したものである。図より、滑面の場合には C_f は濃度とともに大きくなるが、粗面では逆に C_f は濃度とともに小さくなること、さらに、その変化の度合は滑面、粗面を問わずフルード数 F_r に依存し、 F_r の小さい方が変化的度合が大きくなることがとも知れる。また、粗面の場合につひくは、底面粗度高 d_s が大きくなると抵抗係数の減少の度合が小さくなる傾向を有することもうかがわれる。なお、図-1 (a) はレイノルズ数 Re を各ケースにおいてほぼ一定としているため、 Re が C_f と C_m の関係に及ぼす効果につひくは言及さない。

3. 平均速度分布

二次元壁面乱流の平均速度分布式として現在よく用いられる対数速度分布式は次式のように表される。

$$\text{滑面: } \frac{U}{U_f} = A_s + \frac{1}{K} \ln \frac{y_s z}{\nu} , \quad (\frac{U_f k_s}{\nu} < 5) \quad (1)$$

$$\text{粗面: } \frac{U}{U_f} = A_r + \frac{1}{K} \ln \frac{z}{R_s} , \quad (\frac{U_f k_s}{\nu} > 20) \quad (2)$$

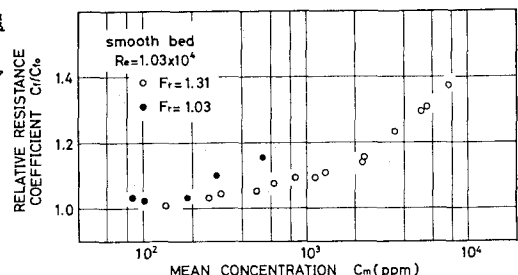


図-1 (a)

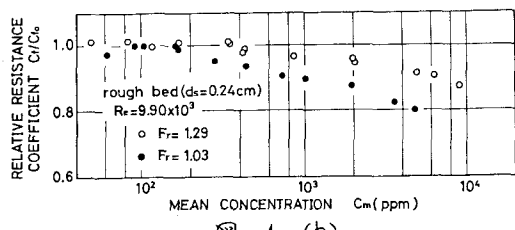


図-1 (b)

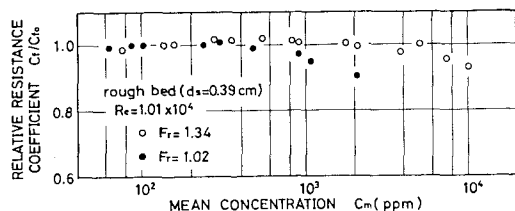


図-1 (c)

ここに、 U は器床面からその高さにおける平均速度、 ν は動粘性係数、 k_s は相当粗度高、 A_s および A_r は積分定数、 K はカルマン定数である。

さて、浮遊砂流において、ホットフィルム流速計を用いて計測された平均速度分布を滑面および粗面の場合につひく示したもののがそれぞれ図-2 および図-3 である。図-2 は滑面において、 $Re = 1.0 \times 10^4$ 、 $F_r = 2.4$ のもとで計測されたものであって、浮遊砂流においても全般的に対数則が適

合しているが、相対水深 $z/H = 0.4$ 附近を境に勾配が急変していると見なした方がより自然であるようにも思われる。この点につけては詳細に検討する必要がある。一方、図-3 に示された粗面における平均速度分布は、浮遊砂を含んでも全水深にわたり対数則が非常によく適合している。浮遊砂流においても平均速度分布式として対数速度分布式がよく適合することは従来より実験的に明らかにされているが、本研究によるともそれが裏証される。

4. カルマン定数

カルマン定数 k と浮遊砂濃度 C_m の関係を平均速度分布および浮遊砂濃度分布を基にして考察する。すなわち、図-2 および図-3 に示された平均速度分布が対数則によく適合することにより、 $0.2 < z/H < 0.8$ の領域に最小自乗法を適用してカルマン定数を評価するとともに、浮遊砂濃度分布が図-4 に示すように Rouse の分布式ときわめてよい一致を示すことが実験的に確認されたので、これよりカルマン定数を評価する。なお、Rouse の分布式は次式のように表される。

$$\frac{C}{C_0} = \left(\frac{a}{H-a} \cdot \frac{H-z}{z} \right)^2, \quad Z = \frac{w_0}{\beta k L_{fr}} \quad (3)$$

ここに、 C は底床からの高さ z における濃度、 C_0 は基準高 a における濃度、 β は比例定数、 w_0 は浮遊粒子の沈降速度である。

以上のように求めたカルマン定数と浮遊砂濃度との関係を示したもののが図-5 である。なお、図における C_m は浮遊砂流におけるカルマン定数 k は清水流におけるカルマン定数 k_0 を基準化されてある。図より、カルマン定数は滑面の場合には浮遊砂濃度 C_m の増加とともに次第に増大し、粗面の場合には低濃度の領域で若干大きくなる傾向があるものの、全般的には C_m が増加するとともに減少することが知れる。さらに、変化的度合についてみると、 C_m がおよそ 5000 ppm までの範囲においては、滑面の場合のカルマン定数の増大は高々 8% 程度であるが、粗面においては 20% 近くまで減少していることも知れる。このような傾向は平均速度分布および濃度分布の两者から見出される。

5. おわりに

以上のように、浮遊砂濃度が流れの抵抗特性、とりわけ抵抗係数およびカルマン定数に及ぼす効果は滑面と粗面とでは相違った傾向を示すことが実験的に明らかにされたが、今後は浮遊粒子については濃度のほかに比重の効果に関する検討を行っていく予定である。

参考文献

- 1) 今本・浅野・大年；開水路浮遊砂流の抵抗特性に関する実験的研究(2)，第32回年譲，II-211, 1977.
- 2) 浅野・今本・大年；開水路浮遊砂流の乱水特性に関する実験的研究(2)，第32回年譲，II-150, 1977.
- 3) 今本・大年・二宮；開水路浮遊砂流の実験における2,3の問題点について，関西支部年譲，II-42, 1978.

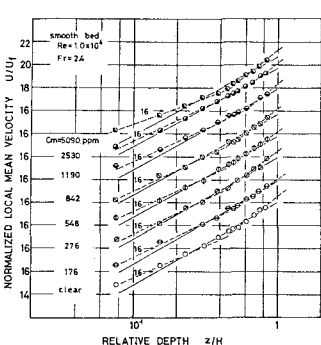


図-2

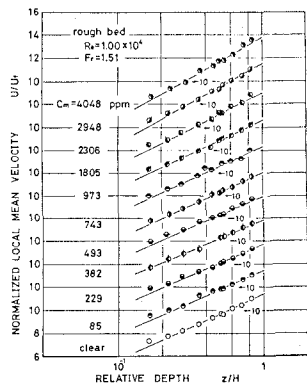


図-3

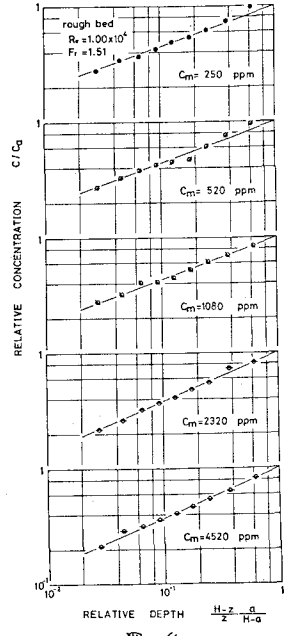


図-4

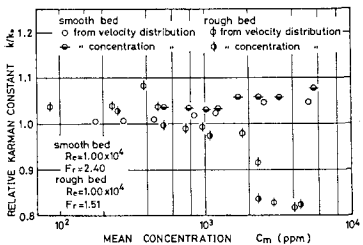


図-5